

5. SENZORI UBRZANJA I VIBRACIJA

5.1. Merne promenljive i merni principi

- Senzori ubrzanja pogodni su za primenu kod sistema:

➤ Kontrole detonativnog sagorevanja

➤ Zaštite putnika

- *vazdušni jastuci, zatezači pojaseva.*
- *aktivni sistemi za zaštitu pri prevrtanju vozila*
- *inercioni zatezači pojaseva*

➤ ABS, ESP, HHC (HDC)

➤ Kontrole šasije i oslanjanja

➤ Alarmne zaštite

- Svi senzori ubrzanja zasnivaju se na drugom Njutnovom zakonu, po kome je ubrzanje **a**, koje telo mase **m** ostvaruje, direktno srazmerno sili **F** koja na telo deluje, a obrnuto srazmerno masi tela **m**.

$$F = m \cdot a$$

Merne promenljive i merni principi

1 Measuring range of acceleration sensors

Applications

Measuring range

Knock control	40 g
Passenger protection	
- Airbag, seat-belt pretensioner	35 to 100 g
- Side impact, front sensing	100 to 400 g
- Roll-over detection	3 to 7 g
ESP, HHC, ABS	0.8 to 1.8 g
Chassis and suspension control	
- Design	1 g
- Axle/damper	10 to 20 g
Car alarm	1 g

Izmerena promenljiva je ubrzanje \mathbf{a} , koja se često navodi kao višekratnik gravitacionog ubrzanja \mathbf{g} ($1 \text{ g} \approx 9,81 \text{ m/s}^2$).

Table 1

g Acceleration due to gravity
 $1 \text{ g} \approx 9.81 \text{ m/s}^2$

HHC Hill hold control

ABS Antilock brake system

ESP Electronic stability program

Merne promenljive i merni principi

1 Displacement or travel-measuring acceleration sensors

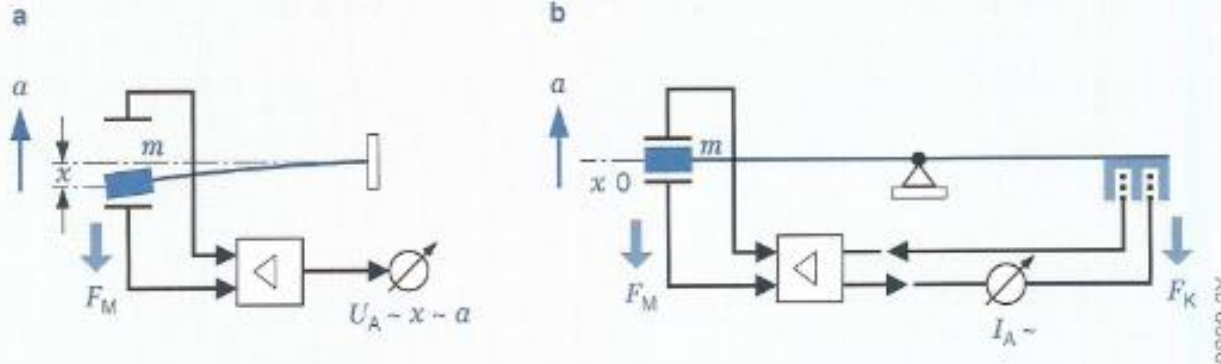


Fig. 1

- Schematic:
 a Excursion-measuring
 b Closed-loop position controlled
 a Measured acceleration
 x System excursion
 F_M Measuring force (inertial force on the mass m)
 F_K Compensating force
 I_A Output current
 U_A Output voltage

- Kao i u slučaju merenja sile, koriste se pozicioni sistemi i mehanički merni sistemi naprezanja.
- Pozicioni merni sistemi koriste kompenzacioni metod u kojem pobudni sistem izložen ubrzuju biva kompenzovan ekvivalentom silom, tako da sistem praktično uvek ostaje u blizini nulte tačke, koju karakteriše visoka linearnost, minimalna poprečna osetljivost i visoka temperturna stabilnost.
- U cilju kompenzacije gravitacionog ubrzanja, svi senzori ubrzanja karakterišu se opružnom koncepcijom, pri čemu je inerciona masa elastično spojena sa telom čije se ubrzanje meri.
- To znači da je u stanju statičke ravnoteže, sila ubrzanja jednaka sili opruge, koja je istegnuta za dužinu x .

Merne promenljive i merni principi

$$(1) \quad F = m \cdot a$$

$$(2) \quad F = m \cdot a = c \cdot x$$

$$(3) \quad S = x/a = m/c$$

$$(4) \quad F = m \cdot a = c \cdot x + p \cdot \dot{x} + m \cdot \ddot{x}$$

$$(5) \quad \omega_0 = \sqrt{\frac{c}{m}}$$

$$(6) \quad \omega_0^2 \cdot S = 1$$

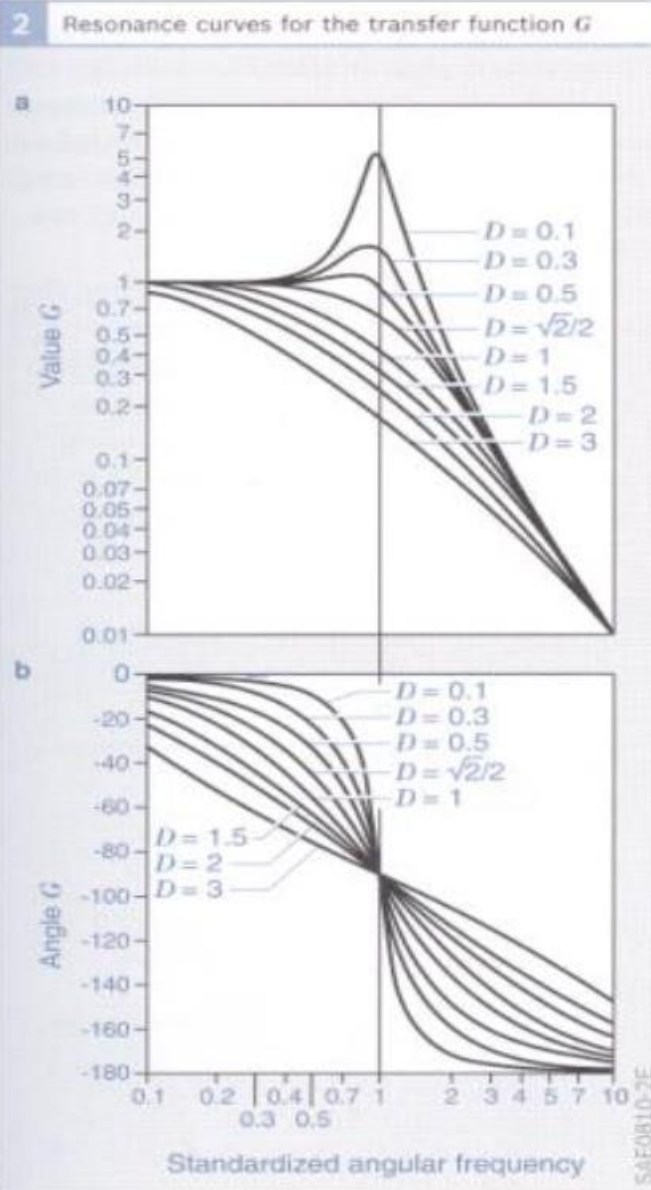
$$(7) \quad D = \frac{p}{2 \cdot c} \cdot \omega_0 = \frac{p}{2 \cdot \sqrt{c \cdot m}}$$

Merne promenljive i merni principi

2 Measuring principles

Electrical pick-off	Principle	Technical implementation	Examples of application
Piezoresistive	Stress measurement via the change in resistance as a result of elongation caused by acceleration on the spring-mass system	Silicon volume micromechanics, thin-layer systems	Laboratory applications, previously also crash sensors
Piezoelectric	Charge shifts in the crystal as a result of the force applied (spring-mass system)	Ceramic material, PZT, quartz, PVDF	Knock sensors, previously also crash sensors
Capacitive	Excursion of the spring-mass system is determined through capacitance measurement of a plate capacitor	Silicon volume micromechanics, surface micromechanics	Used throughout the motor vehicle
Thermal	Lateral excursion of a heated gas zone and detection of the asymmetry with respect to the heated zone	Volume micromechanics	Rollover sensing

Merne promenljive i merni principi

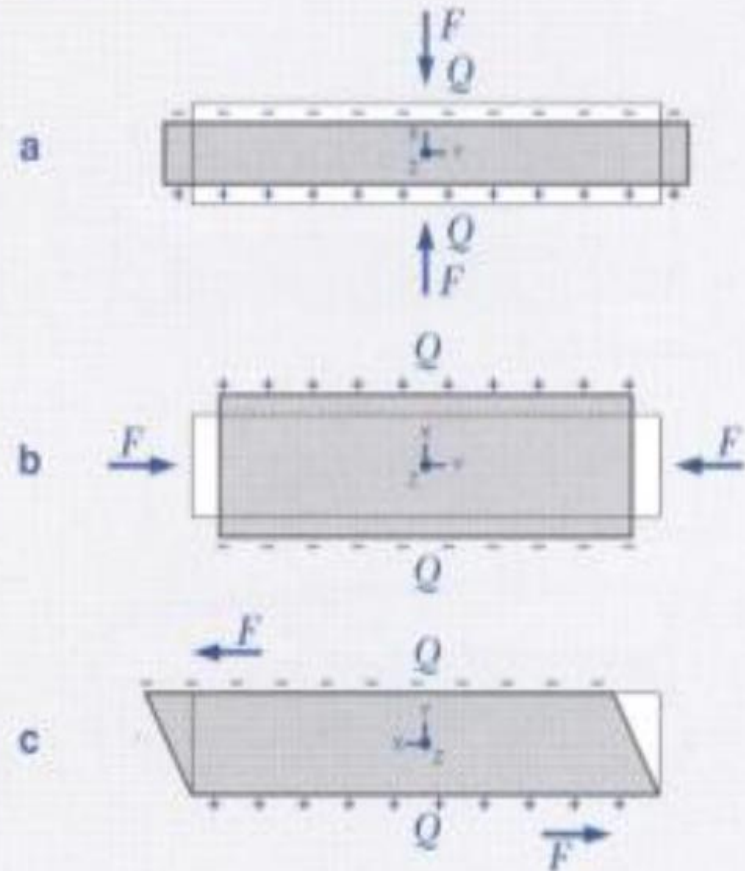


- Ukoliko se zanemari trenje ($p \approx 0$), rezonantna frekvencija sistema iznosi prema relaciji (5).
- Prema jednačinama (3) i (5), moguće je uspostaviti relaciju (6), na osnovu koje se može zaključiti da u području rada sistema ispod rezonantne frekvencije, za slučaj kada se rezonantna frekvencija dvostruko poveća, merna osetljivost biva smanjena četri puta.
- Faktor prigušenja **D** definisan je jednačinom (7).
- U cilju dobijanja što šireg frekvencijskog područja rada, kompromisno rešenje postiže se za vrednosti faktora prigušenja u opsegu $D = 0,5 - 0,7$.

Sistemi za merenje mehaničkog naprezanja

3

Types of piezoelectric effects



SAE0912-1V

Fig. 3

- a Longitudinal effect
 - b Transverse effect
 - c Tangential force
- F Force
 Q Charge

Pijezoelektrični senzori se koriste u motornom vozilu u senzorima ubrzanja i senzorima ugaone brzine skretanja.

Princip uzdužnog efekta

Pod dejstvom sile F , pijezoelektrični materijali generišu nanelektrisanje Q na njihovim površinama na koje su pričvršćene elektrode (slika 3). Ovo nanelektrisanje je proporcionalno mehaničkom naprezanju izazvano silom F .

Poprečni efekat i efekat smicanja

Sistemi za merenje mehaničkog naprezanja

4

Piezoelectric bimorph

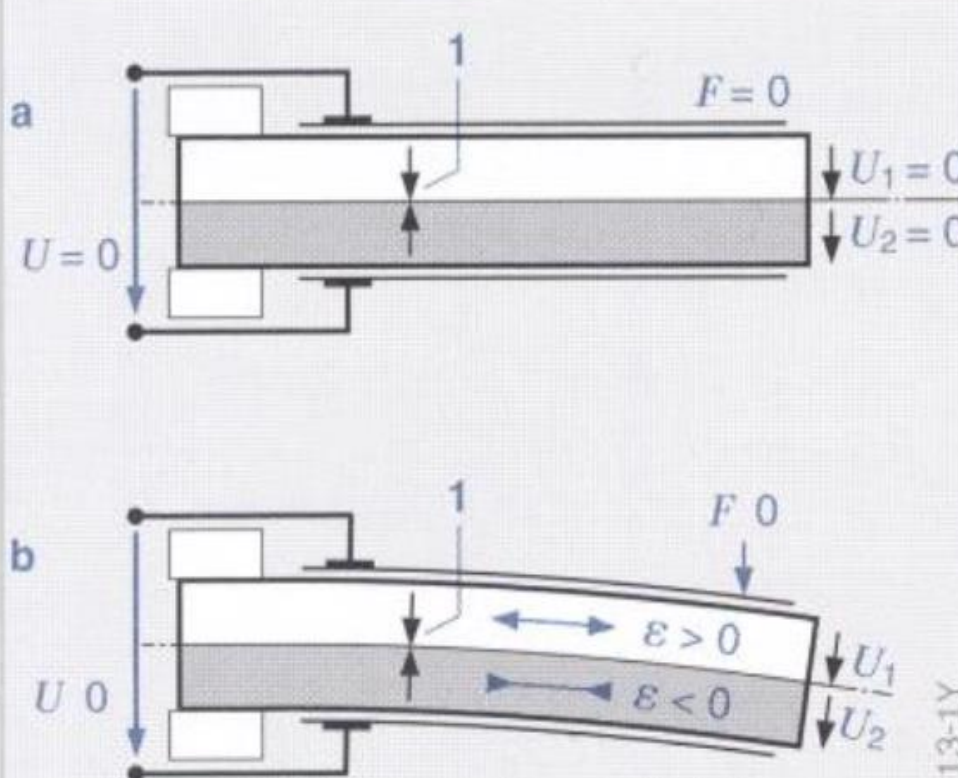


Fig. 4

- a Non-active state
- b When bent,
stretched on top
($\varepsilon > 0$)
compressed below
($\varepsilon < 0$)
- 1 Direction of
polarization
- F Measuring force
- U Total voltage
- U_1, U_2 Part voltages

Poprečni efekat se koristi na primer u **bimorfu**.

One se sastoje od dve suprotno polarizovane pijezokeramike iskorišćene za merenje mehaničkih naprezanja.

5

Pick-off on piezoelectric sensors

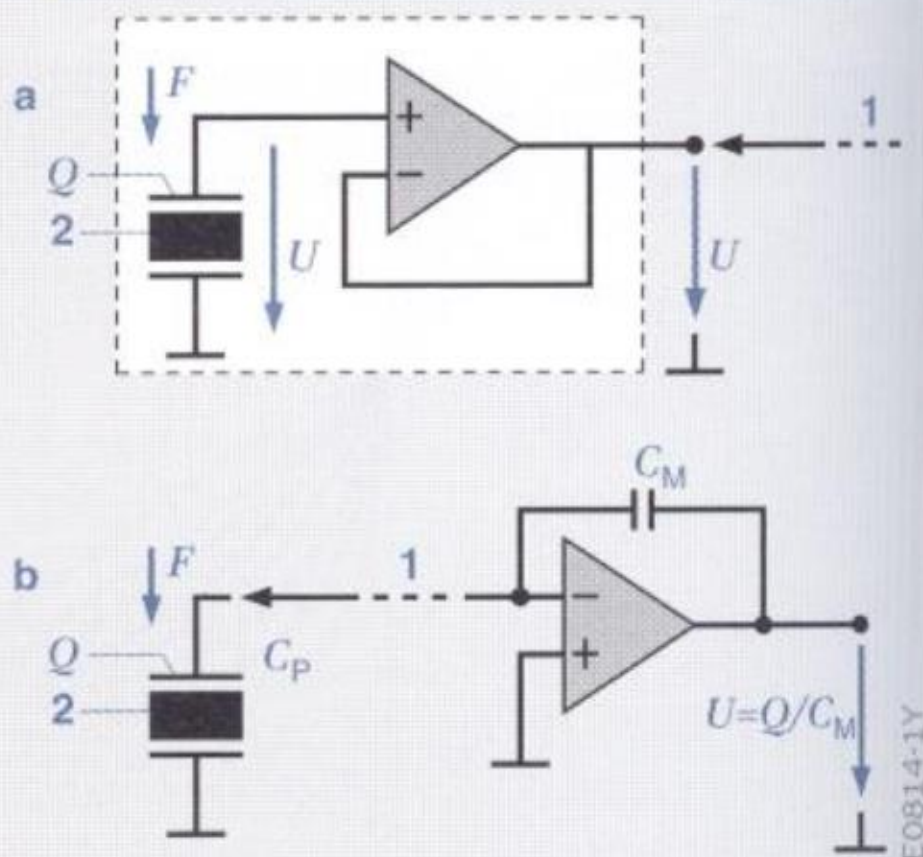


Fig. 5

- a Voltage pick-off
- b Charge pick-off
- 1 Supply lead
- 2 Piezoelectric specimen with capacitance C_P
- C_M Measuring capacity
- F Measuring force
- Q Charge
- U Voltage

Termički senzor ubrzanja

6 Principle of thermal acceleration sensors

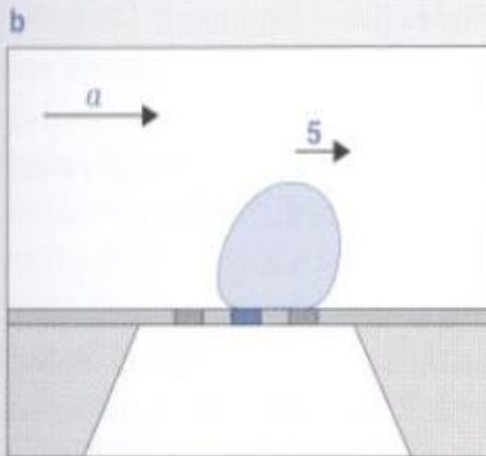
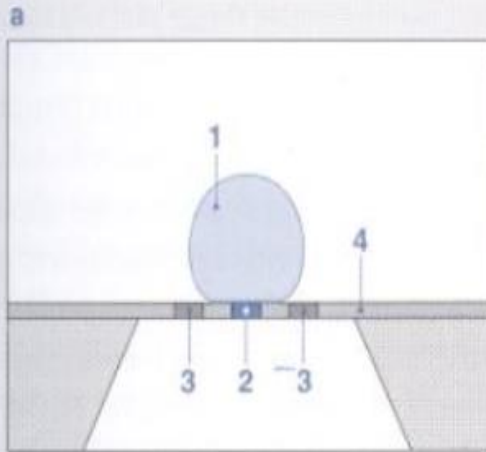


Fig. 6

- a Acceleration $a = 0$
- b Acceleration $a > 0$
- 1 Heated gas zone
- 2 Heater element
- 3 Temperature sensor
- 4 Substrate coating
- 5 Displaced heated zone

- Termički senzor ubrzanja pomoću grejača generiše "balon ugrejanog gasa".
- Taj mali tesni ugrejani prostor gase ima veću gustinu od okolnog, hladnijeg gase.
- U slučaju bočnog ubrzanja, oblast veće gustine gase se pomera unutar okolnog, hladnijeg gase.
- Asimetrija koja usledi detektuju termoelementi ili otpornici u mosnom kolu.
- Napon mosta predstavlja signal ubrzanja.

Pijezoelektrični senzor detonacije

2 Knock sensor (design and mounting)

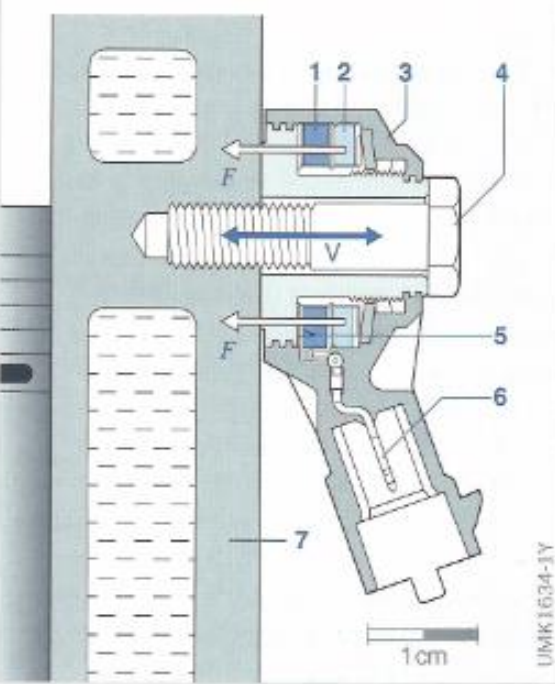


Fig. 2

- 1 Piezoceramic element
- 2 Seismic mass with compressive forces F
- 3 Housing
- 4 Bolt
- 5 Contact washer
- 6 Electric connection
- 7 Engine block
- V Vibration

1 Knock-sensor signals (oscilloscope display)

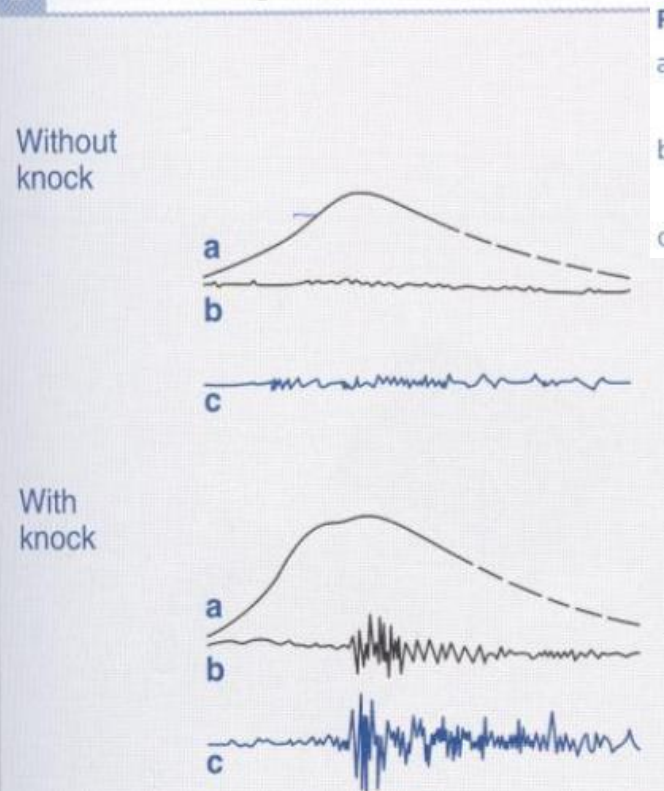


Fig. 1

- a Cylinder-pressure characteristic curve
- b Filtered pressure signal
- c Knock-sensor signal

Primjenjuje se:

- na oto motorima za utvrđivanje detonativnog sagorevanja u cilindru, koje nastaje kao posledica nekontrolisanog paljenja smeše.
- kod dizel motora primjenjuje se za praćenje kvaliteta sagorevanja po cilindrima.

Piezoelectric vibration sensor

Measurement of structure-borne sound and acceleration

Technical data

Permissible short-term vibration $\leq 400 \text{ g}$

Installation

Grey cast iron bolt M 8 x 25 ; Quality 8.8

Aluminium bolt M 8 x 30 ; Quality 8.8

Tightening torque (possible with lubrication) $20 \pm 5 \text{ Nm}$

Technical data

0 261 231 148

Vibration sensors 2-pole, without cable

Frequency range 3 ... 22 kHz

Sensitivity at 5 kHz $26 \pm 8 \text{ mV/g}$

Linearity between 5...20 kHz with resonance 15 %

Main resonance frequency $> 25 \text{ kHz}$

Self-impedance $> 1 \text{ M}\Omega$

Capacitance range $800 \dots 1400 \text{ pF}$

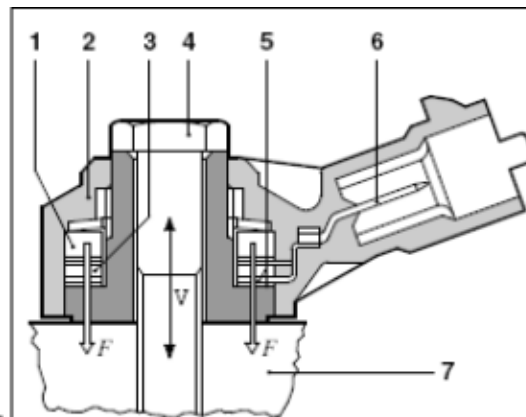
Temperature dependence of sensitivity $\leq 0,06 \text{ mV/g} \cdot \text{K}$

Operating temperature range $-40 \dots +150^\circ \text{C}$

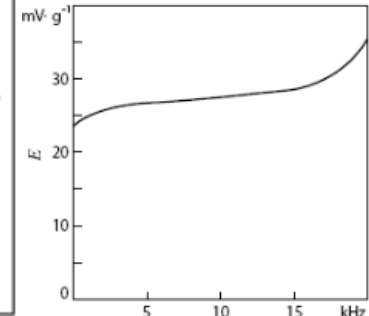
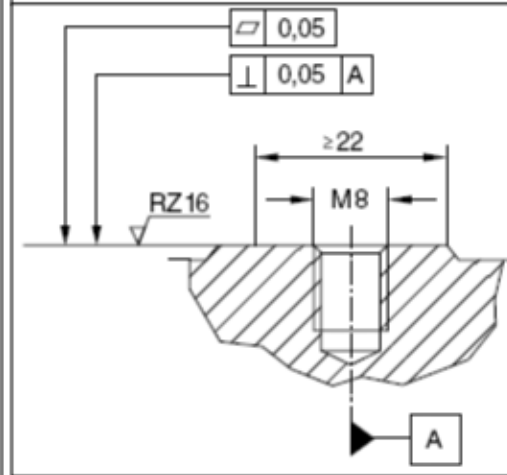
Permissible sustained vibration $\leq 80 \text{ g}$

Installation

Installation position any



Pin 1, 2 Measurement signal
Pin 3 Screen, dummy



Obično se postavlja direktno na blok motora. U cilju što efektivnijeg merenja vibracija, prilikom montaže potrebno je ispuniti sledeće:

- Vijak za pričvršćenje treba zategnuti odgovarajućim momentom (obično između 18-22 Nm);
- Kontaktna površina bloka motora i navoj u bloku moraju imati potreban kvalitet obrade,
- Ne smeju se koristiti podloške.

Površinski mikromehanički (SMM) senzori ubrzanja

1 Surface micromechanical acceleration sensors for airbag triggering (example)

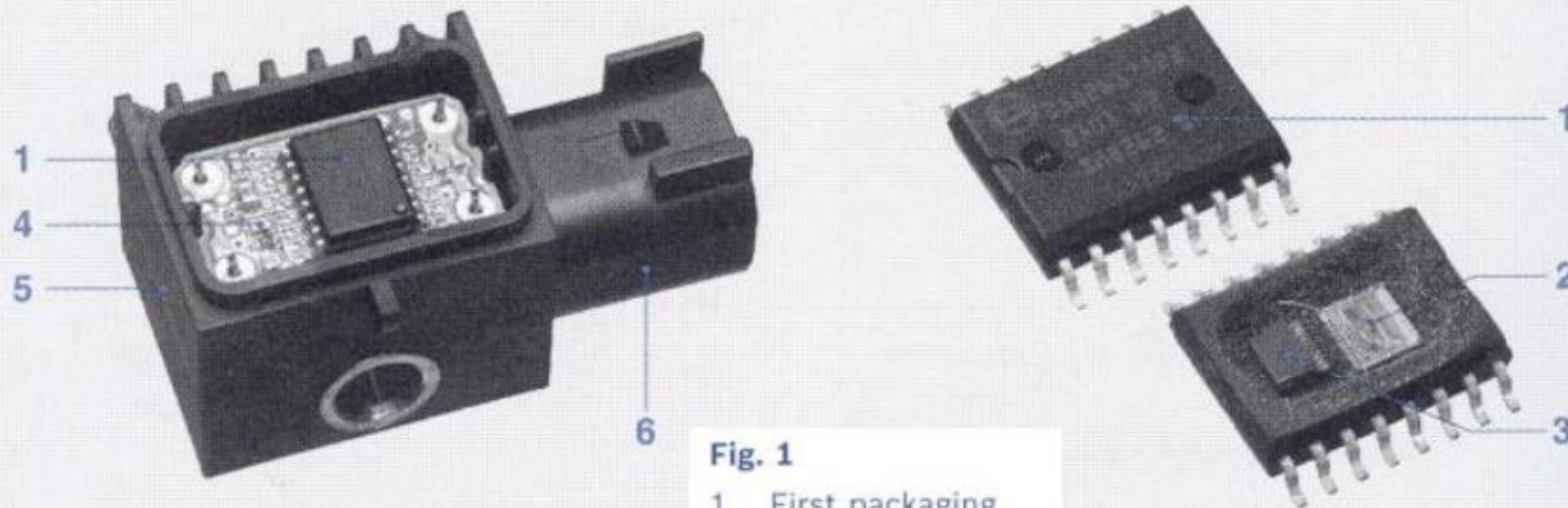


Fig. 1

- 1 First packaging stage (module) in SO16 housing
- 2 Evaluator chip (ASIC)
- 3 SMM sensor element
- 4 Populated PCB
- 5 Second packaging stage (device)

Površinski mikromehanički (SMM) senzori ubrzanja

2

Surface micromechanical acceleration sensors with capacitive pick-off

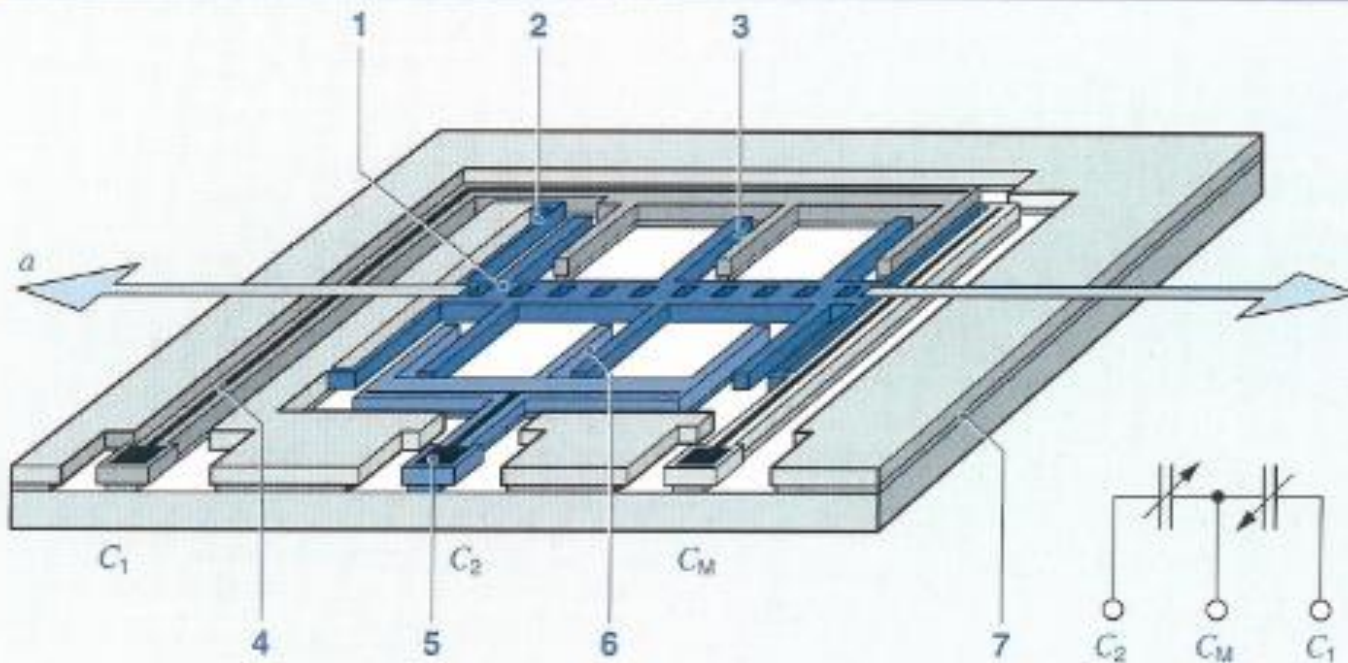


Fig. 2

- 1 Spring-mounted seismic mass with electrodes
- 2 Spring
- 3 Fixed electrodes with capacity C_1
- 4 Printed Al conductor track
- 5 Bond pad
- 6 Fixed electrodes with capacity C_2
- 7 Silicon oxide
- a Acceleration in the sensing direction

C_M Measuring capacity

UAE0801-2Y

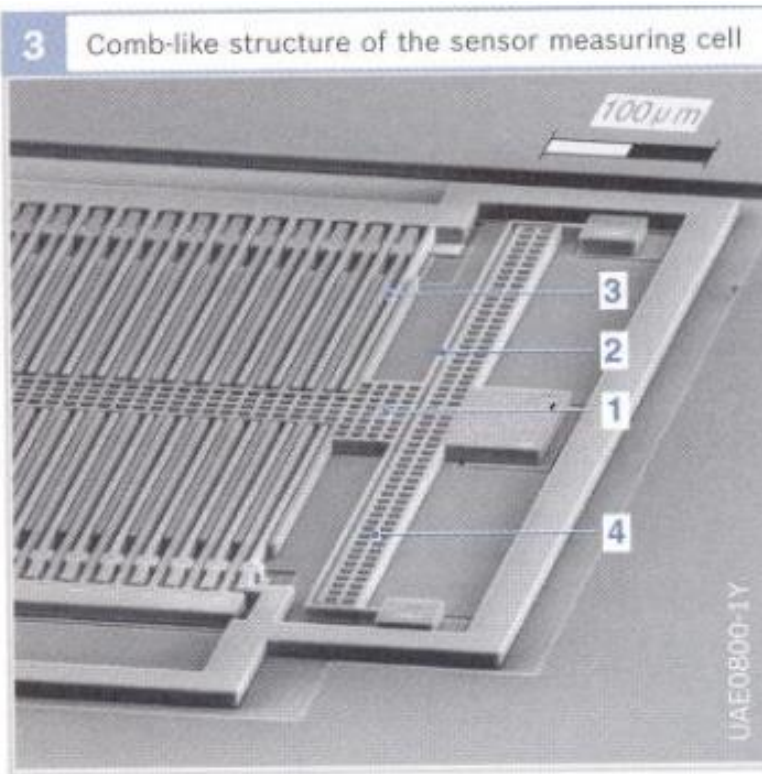


Fig. 3

- 1 Spring-mounted seismic mass with electrode
- 2 Spring
- 3 Fixed electrodes
- 4 Anchor areas

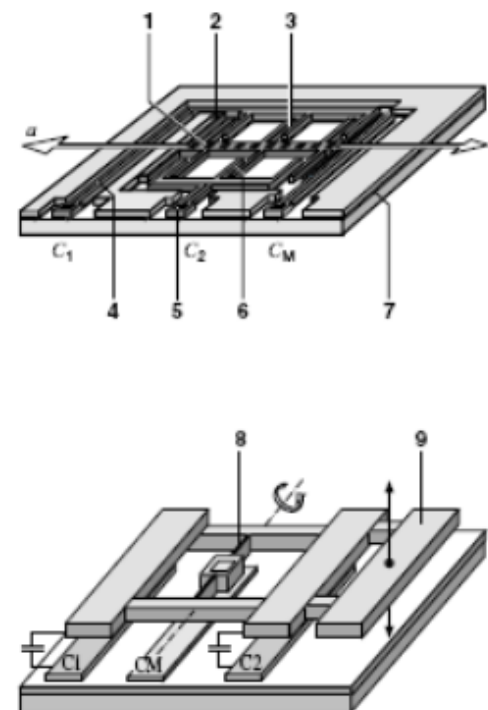
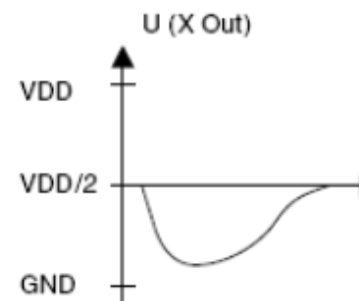
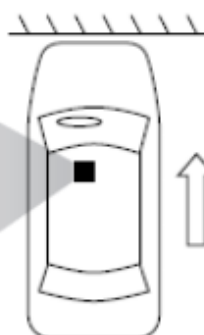
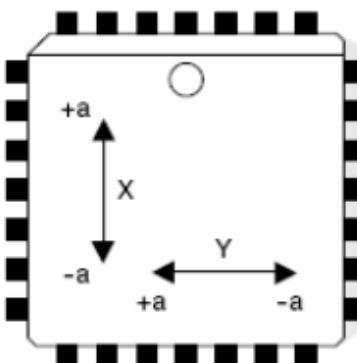
SENZORI I AKTUATORI

Surface micromechanical acceleration sensor

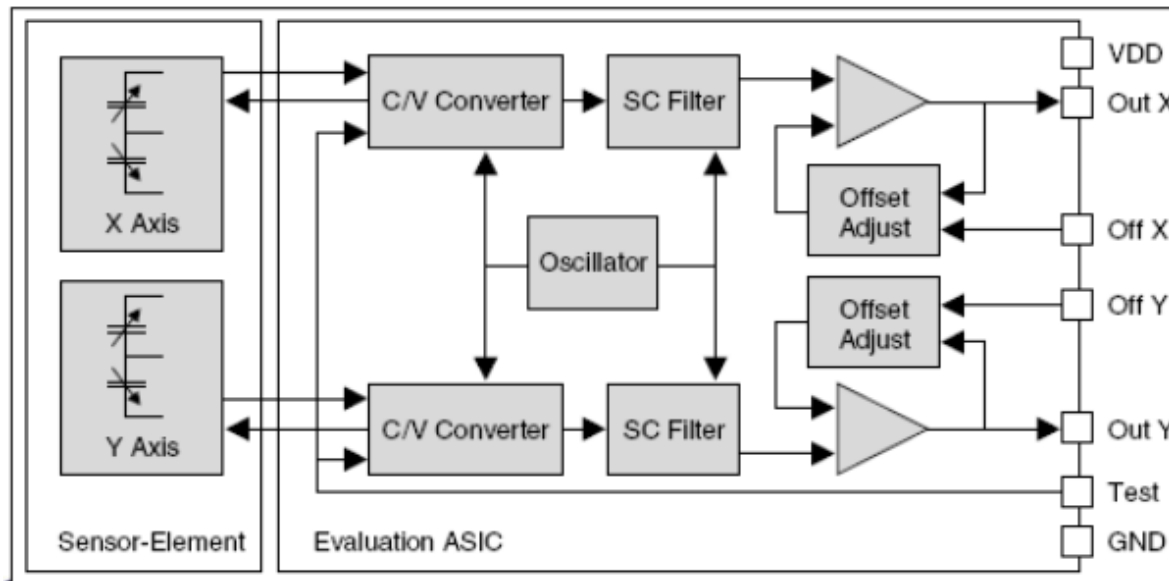
Measurement of $\pm 35 \text{ g}$ or $\pm 50 \text{ g}$ acceleration



a	Acceleration ($g_0 = 9.81 \text{ m/s}^2$)
V_{DD}	Supply voltage
V_{off}	Offset voltage
S	Sensitivity
V_{out}	Output voltage
$V_{out} = (V_{DD}/2) + (V_{off} \cdot S \cdot a) \cdot (V_{DD}/5V)$	



- 1 Horizontally sprung seismic element with electrodes
- 2 Spring
- 3 Fixed electrodes with capacitance C_1
- 4 Al printed conductor
- 5 Bond pad
- 6 Fixed electrodes with capacitance C_2
- 7 Silicon oxide
- 8 Torsion spring
- 9 Vertically sprung seismic element with electrodes. a Acceleration in sensing direction, C_M Measurement capacitance. $a \sim (C_1 - C_2) / (C_1 + C_2)$



Silicijumski mikromehanički senzori ubrzanja

1

Bulk silicon acceleration sensor with capacitive pick-off (schematic diagram)

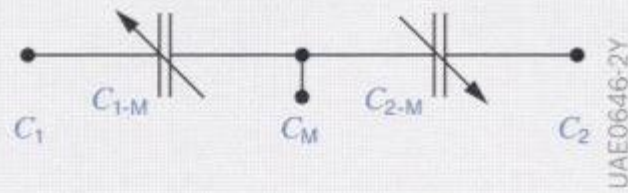
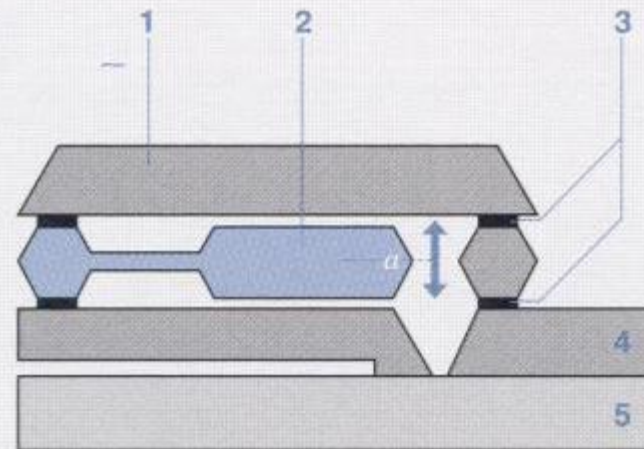


Fig. 1

- 1 Upper Si plate
- 2 Center Si plate (spring-held or seismic mass)
- 3 Si-oxide
- 4 Bottom Si plate
- 5 Glass substrate
- a Acceleration in the sensing direction
- C_M Measuring capacity

Pijezoelektrični senzor ubrzanja

1 Spring element in a piezoelectric acceleration sensor

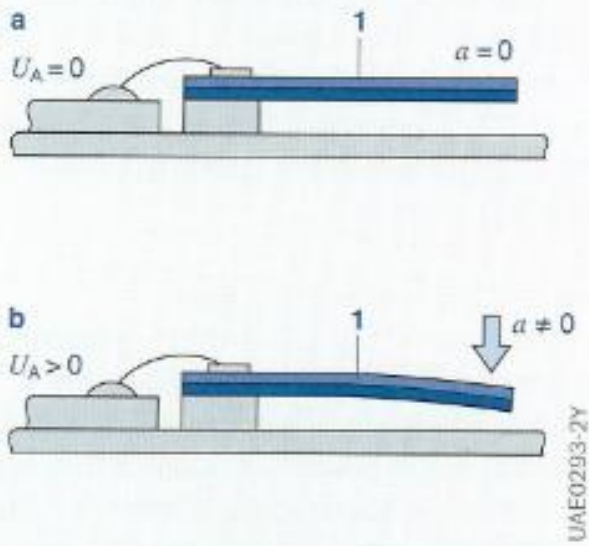


Fig. 1

- a Not under acceleration
- b Under acceleration a
- 1 Piezoceramic bimorphous spring element
- U_A Measurement voltage

2 Piezoelectric acceleration sensor (two channel sensor for PCB mounting)

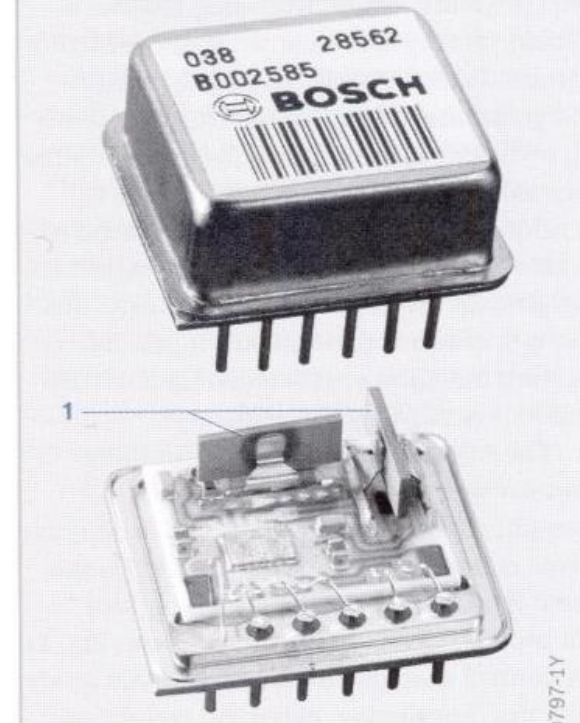


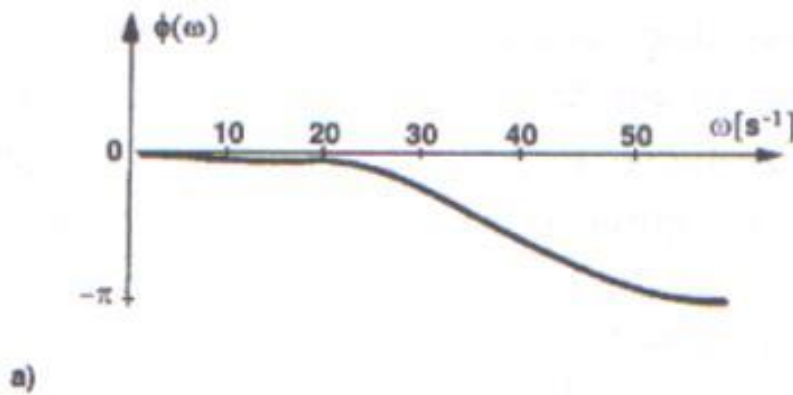
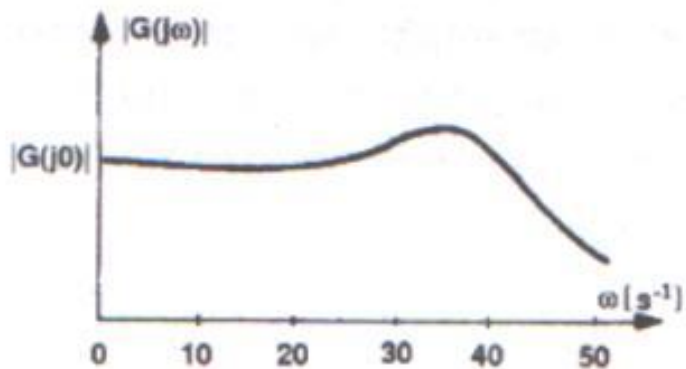
Fig. 2

- 1 Spring element

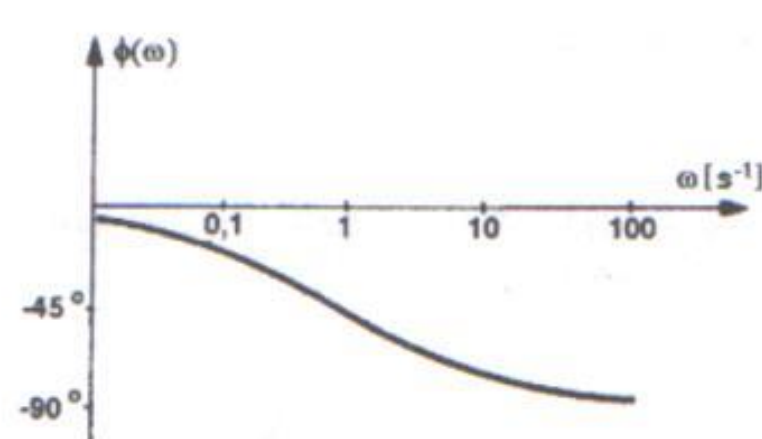
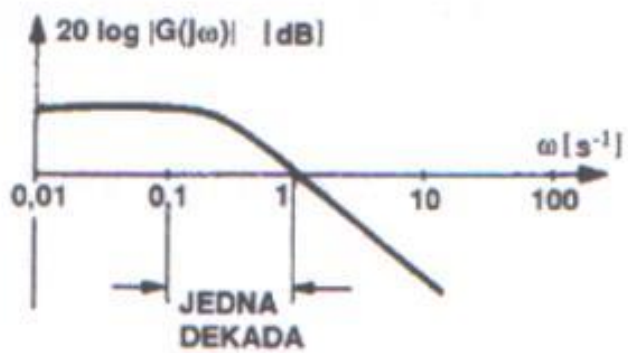
Koriste se kao senzori ubrzanja u sigurnosnim sistemima za pokretanje sigurnosnog pojasa, vazdušnim jastucima i sistemima za sprečavanje prevrtanja.

- Pijeo-oscilatorni elementi ne zahtevaju dodatnu seizmičku masu.
- Njihova masa je prikladna za lako analiziranje signala.

Динамичке карактеристике у фрквенцијској области:



a)



b)

Slika 8.12. Frekventne karakteristike senzora: a) sa linearном razmerom na apscisi, b) Bodeov prikaz

ЕЛЕМЕНТИ АУТОМАТСКИХ СИСТЕМА

